

ДАВЛЕНИЕ НА УПРУГОЕ ПОЛУПРОСТРАНСТВО ШТАМПА, ИМЕЮЩЕГО В ПЛАНЕ ФОРМУ ПОЛОСЫ

В. Л. Рвачев

(Осипенко)

В большинстве работ, посвященных пространственным контактным задачам теории упругости, предполагается, что область контакта есть круг или эллипс (Л. А. Галин^[1], И. Я. Штаерман^[2], М. Я. Леонов^[3], А. И. Лурье^[4], В. И. Москаковский^[5] и др.).

Решения пространственных контактных задач могут быть использованы при решении задач об изгибе балок и плит на упругом основании. С этой точки зрения большой интерес представляет задача о давлении под штампом в случае, когда область контакта имеет форму полосы. Однако решение этой задачи не может быть получено как предельный случай из имеющихся решений задачи, относящихся к эллиптическому штампу, ввиду возникающих при таком переходе принципиальных затруднений.

§ 1. Пренебрегая силами трения между штампом и основанием, задачу о давлении на упругое полупространство штампа, имеющего в плане форму полосы, можно привести к решению интегрального уравнения

$$w(x, y) = \frac{1 - v^2}{\pi E} \int_{-a}^a d\xi \int_{-\infty}^{+\infty} \frac{p(\xi, \eta)}{\sqrt{(x - \xi)^2 + (y - \eta)^2}} \quad (|x| < a) \quad (1.1)$$

где $z = w(x, y)$ — уравнение поверхности основания штампа, $p(x, y)$ — искомое давление под подошвой штампа, $2a$ — ширина полосы, v и E — упругие постоянные.

В работе сначала рассматривается случай, когда функция $w(x, y)$ имеет вид:

$$w(x, y) = f(\lambda, x) \cos \lambda y \quad (1.2)$$

где λ — произвольное положительное число.

При помощи решения, полученного в этом случае, оказывается возможным получить решение в общем случае при весьма общих предположениях относительно функции $w(x, y)$.

Если осадка под штампом определяется формулой (1.2), то уравнению (1.1) можно удовлетворить, полагая

$$p(x, y) = \varphi(\lambda, x) \cos \lambda y \quad (|x| < a) \quad (1.3)$$

где $\varphi(\lambda, x)$ — решение уравнения

$$f(\lambda, x) = \frac{2(1 - v^2)}{\pi E} \int_{-a}^a \varphi(\lambda, \xi) K_0(\lambda |x - \xi|) d\xi \quad (1.4)$$

В этой формуле $K_0(t)$ — видоизмененная функция Бесселя второго рода, удовлетворяющая уравнению

$$y'' + t^{-1}y' - y = 0 \quad (1.5)$$

Используя последнее обстоятельство, можно показать, что функция

$$\Phi(\lambda, x, z) = \frac{2(1-v^2)}{\pi E} \int_{-a}^a \varphi(\lambda, \xi) K_0[\lambda \sqrt{(x-\xi)^2 + z^2}] d\xi \quad (1.6)$$

удовлетворяет уравнению

$$\frac{\partial^2 \Phi}{\partial x^2} + \frac{\partial^2 \Phi}{\partial z^2} - \lambda^2 \Phi = 0 \quad (1.7)$$

в точках плоскости xoz , за исключением точек отрезка $-a < x < a$, $z = 0$, и обращается в точках этого отрезка в функцию $f(\lambda, x)$. Кроме того, $\Phi(\lambda, x, z) \rightarrow 0$ при $x^2 + z^2 \rightarrow \infty$.

Так как функция $K_0(t)$ имеет единственную (логарифмическую) особенность при $t = 0$, можно получить следующие формулы, аналогичные известным формулам теории потенциала:

$$\frac{\partial \Phi(\lambda, x, +0)}{\partial z} = \frac{2(1-v^2)}{\pi E} \varphi(\lambda, x) \quad (|x| < a) \quad (1.8)$$

$$\frac{\partial \Phi(\lambda, x, +0)}{\partial z} = -\frac{2(1-v^2)}{\pi E} \varphi(\lambda, x) \quad (|x| > a)$$

$$\frac{\partial \Phi(\lambda, x, 0)}{\partial z} = 0 \quad (|x| > a) \quad (1.9)$$

Таким образом, если будет найдено решение $\Phi(\lambda, x, z)$ дифференциального уравнения (1.7), удовлетворяющее граничным условиям

$\Phi(\lambda, x, 0) = f(\lambda, x)$ при $|x| < a$; $\Phi(\lambda, x, z) \rightarrow 0$ при $x^2 + z^2 \rightarrow \infty$ то функция $\varphi(\lambda, x)$ будет найдена из соотношений (1.8).

При отыскании решения уравнения (1.7) в области, расположенной вне отрезка $-a < x < +a$ оси ox , по его значению на этом отрезке оказывается удобным перейти к эллиптическим координатам.

§ 2. Положим

$$x = a \cos \eta \operatorname{ch} \xi, \quad y = a \sin \eta \operatorname{sh} \xi \quad (2.1)$$

Тогда уравнение (1.7) преобразуется к виду

$$\frac{\partial^2 \Phi}{\partial \xi^2} + \frac{\partial^2 \Phi}{\partial \eta^2} - \frac{a^2 \lambda^2}{2} (\operatorname{ch} 2\xi - \cos 2\eta) \Phi = 0 \quad (2.2)$$

Границные условия примут вид

$$\Phi(\lambda, 0, \eta) = f(\lambda, a \cos \eta), \quad \Phi(\lambda, \infty, \eta) = 0 \quad (2.3)$$

Вместо формул (1.8) получим формулу

$$\frac{\partial \Phi}{\partial \xi} \Big|_{\xi=0} = \frac{2(1-v^2)}{E} |\sin \eta| \varphi(\lambda, a \cos \eta) \quad (2.4)$$

справедливую для всех значений η .

Пусть $\Phi = U(\xi)V(\eta)$. Тогда имеем уравнения Маттье ($\alpha = \text{const}$)

$$V'' + (\alpha + \frac{1}{2} a^2 \lambda^2 \cos 2\eta) V = 0, \quad U'' - (\alpha + \frac{1}{2} a^2 \lambda^2 \operatorname{ch} 2\xi) U = 0 \quad (2.5)$$

Приведем некоторые соотношения из теории функций Маттье (см., например, [6]), которые будут нужны в дальнейшем изложении.

§ 3. Рассмотрим уравнение Маттье в виде

$$\frac{d^2y}{dx^2} + (\alpha - 2q \cos 2x) y = 0 \quad (3.1)$$

Будем искать четные решения этого уравнения, имеющие период π или 2π . При $q = 0$ уравнение (3.1) принимает вид:

$$\frac{d^2y}{dx^2} + \alpha y = 0 \quad (3.2)$$

Тогда для того, чтобы получить решения с периодом π или 2π , положим $\alpha = m^2$, где $m = 0, 1, 2, \dots$. Этим значениям параметра α будут соответствовать четные решения $1, \cos x, \cos 2x, \dots$ уравнения (3.2).

Если $q \neq 0$, то для того, чтобы решение уравнения (3.1) имело период π или 2π , параметры α и q должны быть связаны между собой. Можно показать, что для каждого действительного значения q найдется последовательность значений $\alpha = \alpha_1, \dots, \alpha_m, \dots$, для которых уравнение (3.1) допускает четные решения, имеющие период π или 2π ; эти решения уравнения (3.1) называются четными функциями Маттье первого рода целого порядка и обозначают через $\text{ce}_0(x, q), \text{ce}_1(x, q), \dots, \text{ce}_m(x, q), \dots$; при $q \rightarrow 0$ они переходят в $1, \cos x, \dots, \cos mx, \dots$ соответственно.

Вторые решения уравнения (3.1), соответствующие решениям $\text{ce}_m(x, q)$, обозначаются $\text{fe}_m(x, q)$. Эти решения уже не являются периодическими.

Если в уравнении (3.1) заменить x на ix , получим

$$\frac{d^2y}{dx^2} - (\alpha - 2q \operatorname{ch} 2x) y = 0 \quad (3.3)$$

Решения уравнения (3.3), полученные при тех же значениях параметров α и q , что и $\text{ce}_m(x, q)$, называются модифицированными функциями Маттье и обозначаются $\text{Ce}_m(x, q)$. Вторые решения обозначаются $\text{Fe}_m(x, q)$.

Вводятся и другие функции Маттье, являющиеся решениями уравнения (3.3). Так, например, окажется удобным использовать в дальнейшем функции $\text{Fek}_m(x, q)$, так как $\text{Fek}_m(\infty, -q) = 0$. Функции $\text{Fek}_m(x, q)$ могут быть получены путем линейной комбинации из функций $\text{Ce}_m(x, q)$ и $\text{Fe}_m(x, q)$.

Если в уравнении (3.1) положить $\frac{1}{2}\pi - x$ вместо x , получим

$$\frac{d^2y}{dx^2} + (\alpha + 2q \cos 2x) y = 0 \quad (3.4)$$

что соответствует изменению знака параметра q в уравнении (3.1). Следовательно,

$$\begin{aligned} \text{ce}_{2n}(x, -q) &= (-1)^n \text{ce}_{2n}\left(\frac{1}{2}\pi - x, q\right) \\ \text{ce}_{2n+1}(x, -q) &= (-1)^n \text{ce}_{2n+1}\left(\frac{1}{2}\pi - x, q\right) \end{aligned} \quad (3.5)$$

Множитель $(-1)^n$ в формулах (3.5) вводится в связи с тем, что при $q \rightarrow 0$ функции $\text{ce}_{2n}(x, q)$ и $\text{ce}_{2n+1}(x, q)$ должны по определению вырождаться в $\cos 2nx, \cos(2n+1)x$.

Функции $\pi^{-1/2}\text{ce}_m(x, q)$ при $m > 0$ ортогональны и нормированы в промежутке $(0, 2\pi)$, т. е.

$$\frac{1}{\pi} \int_0^{2\pi} \text{ce}_m(x, q) \text{ce}_n(x, q) dx = \begin{cases} 0 & \text{при } m \neq n \\ 1 & \text{при } m = n > 0 \end{cases} \quad (3.6)$$

Кроме того,

$$\frac{1}{2\pi} \int_0^{2\pi} \text{ce}_\theta^2(x, q) dx = 1 \quad (3.7)$$

Отметим также следующие разложения в абсолютно и равномерно сходящиеся ряды Фурье:

$$\text{ce}_{2n}(x, q) = \sum_{v=0}^{\infty} A_{2v}^{(2n)} \cos 2vx, \quad \text{ce}_{2n+1}(x, q) = \sum_{v=0}^{\infty} A_{2v+1}^{(2n+1)} \cos (2v+1)x \quad (3.8)$$

Коэффициенты $A_n^{(m)}$ есть функции от q . Для их вычисления можно составить рекуррентные формулы. Можно воспользоваться также готовыми таблицами [7].

На основании свойств ортогональности функций $\text{ce}_m(x, q)$ можно получить следующие разложения в абсолютно и равномерно сходящиеся ряды по этим функциям:

$$1 = 2 \sum_{v=0}^{\infty} A_0^{(2v)} \text{ce}_{2v}(x, q) \quad \cos 2nx = \sum_{v=0}^{\infty} A_{2v}^{(2v)} \text{ce}_{2v}(x, q), \quad (3.9)$$

$$\cos (2n+1)x = \sum_{v=0}^{\infty} A_{2v+1}^{(2v+1)} \text{ce}_{2v+1}(x, q) \quad (n \geq 1)$$

§ 4. Будем предполагать, что функция $f(\lambda, x)$ такова, что может быть разложена на промежутке $-a \leq x \leq a$ в равномерно сходящийся ряд по полиномам Чебышева:

$$f(\lambda, x) = \sum_{v=0}^{\infty} s_v T_v\left(\frac{x}{a}\right), \quad T_v\left(\frac{x}{a}\right) = \cos v \arccos \frac{x}{a} \quad (4.1)$$

$$s_0 = \frac{1}{\pi} \int_0^\pi f(\lambda, a \cos \varphi) d\varphi, \quad s_k = \frac{2}{\pi} \int_0^\pi f(\lambda, a \cos \varphi) \cos k\varphi d\varphi \quad (4.2)$$

На основании формулы (4.1) граничные условия (2.3) примут вид:

$$\Phi(\lambda, 0, \eta) = \sum_{v=0}^{\infty} s_v \cos v\eta, \quad \Phi(\lambda, \infty, \eta) = 0 \quad (4.3)$$

Если воспользоваться формулами (3.5) и (3.8), первую из формул (4.3) можно переписать так:

$$\begin{aligned} \Phi(\lambda, 0, \eta) &= 2s_0 \sum_{i=0}^{\infty} (-1)^i A_0^{(2i)} \text{ce}_{2i}(\eta, -q) + \\ &+ \sum_{v=1}^{\infty} (-1)^v s_{2v} \sum_{i=0}^{\infty} (-1)^i A_{2v}^{(2i)} \text{ce}_{2i}(\eta, -q) + \\ &+ \sum_{v=0}^{\infty} (-1)^v s_{2v+1} \sum_{i=0}^{\infty} (-1)^i A_{2v+1}^{(2i+1)} \text{ce}_{2i+1}(\eta, -q) \end{aligned} \quad (4.4)$$

Так как функции $\text{ce}_m(\eta, -q)$ и $\text{Fek}_m(\xi, -q)$ являются решениями соответственно первого и второго уравнений (2.5), при одном и том же значении параметра α и при $q = 1/4a^2$, то их произведение есть

решение уравнения (1.7). Это позволяет решить уравнение (1.7), удовлетворяющее граничному условию (4.3), выбрать в виде

$$\begin{aligned}\Phi(\lambda, \xi, \eta) = & 2s_0 \sum_{i=0}^{\infty} r_0^{(2i)} \text{Fek}_{2i}(\xi, -q) \text{ce}_{2i}(\eta, -q) + \\ & + \sum_{v=1}^{\infty} (-1)^v s_{2v} \sum_{i=0}^{\infty} r_{2v}^{(2i)} \text{Fek}_{2i}(\xi, -q) \text{ce}_{2i}(\eta, -q) + \\ & + \sum_{v=0}^{\infty} (-1)^v s_{2v+1} \sum_{i=0}^{\infty} r_{2v+1}^{(2i+1)} \text{Fek}_{2i+1}(\xi, -q) \text{ce}_{2i+1}(\eta, -q)\end{aligned}\quad (4.5)$$

где

$$q = \frac{a^2 \lambda^2}{4}, \quad r_{2v}^{(2i)} = \frac{(-1)^i A_{2v}^{(2i)}}{\text{Fek}_{2i}(0, -q)}, \quad r_{2v+1}^{(2i+1)} = \frac{(-1)^i A_{2v+1}^{(2i+1)}}{\text{Fek}_{2i+1}(0, -q)} \quad (4.6)$$

Так как $\text{Fek}_m(\infty, -q) = 0$, то функция $\Phi(\lambda, \xi, \eta)$ удовлетворяет также условию $\Phi(\lambda, \infty, \eta) = 0$. Используя формулу (2.4), получим

$$\begin{aligned}\varphi(\lambda, a \cos \eta) = & \frac{E}{2(1-v^2) |\sin \eta|} \left\{ 2s_0 \sum_{i=0}^{\infty} \frac{(-1)^i A_0^{(2i)} \text{Fek}'_{2i}(0, -q)}{\text{Fek}_{2i}(0, -q)} \text{ce}_{2i}(\eta, -q) + \right. \\ & + \sum_{v=1}^{\infty} (-1)^v s_{2v} \sum_{i=0}^{\infty} \frac{(-1)^i A_{2v}^{(2i)} \text{Fek}'_{2i}(0, -q)}{\text{Fek}_{2i}(0, -q)} \text{ce}_{2i}(\eta, -q) + \\ & \left. + \sum_{v=0}^{\infty} (-1)^v s_{2v+1} \sum_{i=0}^{\infty} \frac{(-1)^i A_{2v+1}^{(2i+1)} \text{Fek}'_{2i+1}(0, -q)}{\text{Fek}_{2i+1}(0, -q)} \text{ce}_{2i+1}(\eta, -q) \right\}\end{aligned}\quad (4.7)$$

Можно показать, что ряды в (4.5) и (4.7) сходятся равномерно.

§ 5. Рассмотрим частный случай, когда осадка основания под интампом определяется по закону

$$w(x, y) = d \cos \lambda y \quad (|x| < a) \quad (5.1)$$

где d — постоянная. Из формул (4.2) следует, что $s_0 = d$, $s_k = 0$ ($k \geq 1$). Поэтому из (4.7) получим

$$\varphi(\lambda, x) = -\frac{Ed}{(1-v^2) \sqrt{a^2-x^2}} \sum_{i=0}^{\infty} \frac{(-1)^i A_0^{(2i)} \text{Fek}'_{2i}(0, -q)}{\text{Fek}_{2i}(0, -q)} \text{ce}_{2i}\left(\arccos \frac{x}{a}, -q\right) \quad (5.2)$$

Формулу (5.2) можно преобразовать к виду, более удобному для вычислений. Воспользовавшись формулами (3.5) и (3.8), сможем написать

$$\varphi(\lambda, x) = -\frac{Ed}{(1-v^2) \sqrt{a^2-x^2}} \sum_{v=0}^{\infty} \delta_{2v} \cos 2v \arccos \cos \frac{x}{a} \quad (5.3)$$

где

$$\delta_{2v} = (-1)^v \sum_{i=0}^{\infty} \frac{A_0^{(2i)} A_{2v}^{(2i)} \text{Fek}'_{2i}(0, -q)}{\text{Fek}_{2i}(0, -q)} \quad (5.4)$$

Для вычисления коэффициентов δ_{2i} по формуле (5.4) можно воспользоваться таблицами [7]. Введем обозначение

$$\int_{-a}^a \varphi(\lambda, x) dx = P(\lambda) \quad (5.5)$$

Если $\lambda \rightarrow 0$, то в предположении, что λ удовлетворяет условию (5.5), получим

$$\varphi(0, x) = \frac{P(0)}{\pi \sqrt{a^2 - x^2}} \quad (5.6)$$

что совпадает с известным решением плоской задачи.

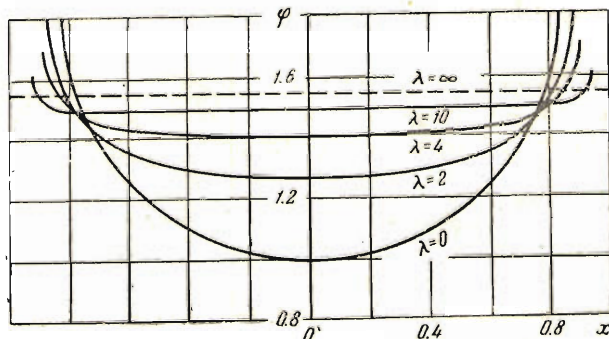
Если, например, $a = 1$, $\lambda = 2$, то

$$\varphi(2, x) = \frac{P(2)}{\pi \sqrt{1 - x^2}} (1 - 0.284 \cos 2 \arccos x - 0.006 \cos 4 \arccos x + \dots)$$

При $a = 1$, $\lambda = 4$ получим

$$\begin{aligned} \varphi(4, x) = \frac{P(4)}{\pi \sqrt{1 - x^2}} & (1 - 0.436 \cos 2 \arccos x - 0.033 \cos 4 \arccos x - \\ & - 0.003 \cos 6 \arccos x + \dots) \end{aligned} \quad (5.7)$$

На фиг. 1 приведены графики функций $\varphi(0, x)$, $\varphi(2, x)$, $\varphi(4, x)$ и $\varphi(10, x)$ при $a = 1$, $P(\lambda) = \pi = \text{const}$.



Фиг. 1

§ 6. Из чертежа видно, что с увеличением λ распределение давления по ширине приближается к равномерному.

Формулу (1.4) можно переписать так:

$$\begin{aligned} f(\lambda, x) = \frac{2(1-v^2)}{\pi E} & \left\{ \int_{-a}^{x-\varepsilon} \varphi(\lambda, \xi) K_0(\lambda |x - \xi|) p\xi + \int_{x+\varepsilon}^a \varphi(\lambda, \xi) K_0(\lambda |x - \xi|) d\xi + \right. \\ & + \int_{x-\varepsilon}^{x+\varepsilon} [\varphi(\lambda, \xi) - \varphi(\lambda, x)] K_0(\lambda |x - \xi|) d\xi + \varphi(\lambda, x) \int_{x-\varepsilon}^{x+\varepsilon} K_0(\lambda |x - \xi|) d\xi \Big\} \quad (6.1) \end{aligned}$$

Отсюда

$$\varphi(\lambda, x) = \frac{1}{R} \left(\frac{\pi E \lambda}{2(1-v^2)} f(\lambda, x) - \lambda S - Q \right) \quad (6.2)$$

где обозначено

$$\begin{aligned} S &= \int_{-a}^{x-\varepsilon} \varphi(\lambda, \xi) K_0(\lambda |x - \xi|) d\xi + \int_{x+\varepsilon}^a \varphi(\lambda, \xi) K_0(\lambda |x - \xi|) d\xi \\ Q &= \int_{-\varepsilon\lambda}^{\varepsilon\lambda} \left[\varphi\left(\lambda, x - \frac{t}{\lambda}\right) - \varphi(\lambda, x) \right] K_0(t) dt, \quad R = \int_{-\varepsilon\lambda}^{\varepsilon\lambda} K_0(t) dt \end{aligned}$$

Учитывая, что

$$K_0(t) \sim \sqrt{\frac{\pi}{2t}} e^{-t} \quad \text{при } t \rightarrow +\infty$$

и предполагая функцию $\varphi(\lambda, x)$ непрерывной, из формулы (6.2) получим

$$\varphi(\lambda, x) \sim \frac{E\lambda f(\lambda, x)}{2(1-\nu^2)} \quad \text{при } \lambda \rightarrow +\infty \quad (6.3)$$

Если $f(\lambda, x) = d = \text{const}$, то в предположении, что выполняется условие (5.5), получим

$$\lim \varphi(\lambda, x) = \frac{P(\infty)}{2a} = \text{const} \quad \text{при } \lambda \rightarrow +\infty \quad (6.4)$$

§ 7. Рассмотрим общий случай, когда поверхность основания определяется уравнением $z = w(x, y)$.

О функции $w(x, y)$ будем предполагать, что она может быть представлена в виде интеграла Фурье

$$w(x, y) = \int_0^\infty [f^c(\lambda, x) \cos \lambda y + f^s(\lambda, x) \sin \lambda y] d\lambda \quad (7.1)$$

где

$$f^c(\lambda, x) = \frac{1}{\pi} \int_{-\infty}^{\infty} w(x, t) \cos \lambda t dt, \quad f^s(\lambda, x) = \frac{1}{\pi} \int_{-\infty}^{\infty} w(x, t) \sin \lambda t dt \quad (7.2)$$

О функциях $f^c(\lambda, x)$ и $f^s(\lambda, x)$ будем предполагать, что они могут быть разложены на промежутке $-a < x < a$ в равномерно сходящиеся ряды по полиномам Чебышева и что интегралы

$$\int_0^\infty \lambda |f^c(\lambda, x)| d\lambda, \quad \int_0^\infty \lambda |f^s(\lambda, x)| d\lambda \quad (7.3)$$

в том же промежутке сходятся равномерно.

Ввиду линейности интегрального уравнения (1.1), осадке под штампом, определяемой формулой (7.1), будет соответствовать давление

$$p(x, y) = \int_0^\infty [\varphi^c(\lambda, x) \cos \lambda y + \varphi^s(\lambda, x) \sin \lambda y] d\lambda \quad (7.4)$$

где $\varphi^c(\lambda, x)$, $\varphi^s(\lambda, x)$ — функции, которые получаются из функций $f^c(\lambda, x)$, $f^s(\lambda, x)$ соответственно согласно формуле (5.3).

В силу асимптотической формулы (6.3) из условий (7.3) следует сходимость интеграла (7.4) во всех точках промежутка $(-a, a)$, где функции $\varphi^c(\lambda, x)$ и $\varphi^s(\lambda, x)$ непрерывны. Необходимость последнего замечания следует из того, что формула (6.3) справедлива лишь в точках, где функция $\varphi(\lambda, x)$ непрерывна.

Поступила 8 IV 1955

ЛИТЕРАТУРА

- Галин Л. А. Контактные задачи теории упругости. М., 1953.
- Штаерман И. Я. Контактная задача теории упругости. М.—Л., 1949.
- Леопов М. Я. Решение одного интегрального уравнения теории плютоно-вого потенциала. Украинский математический журнал, 1951.
- Лурье А. И. Некоторые контактные задачи теории упругости, ПММ, т. V, вып. 3, 1941.
- Моссаковский В. И. Общее решение задачи об определении давления под подошвой круглого штампа в виде ряда Фурье, Украинский математический журнал, 1951.
- Мак-Лахлан Н. В. Теория и приложения функций Маттье. М., 1953.
- Tables relating to Mathieu functions, Columbia University Press, New York, 1951.